

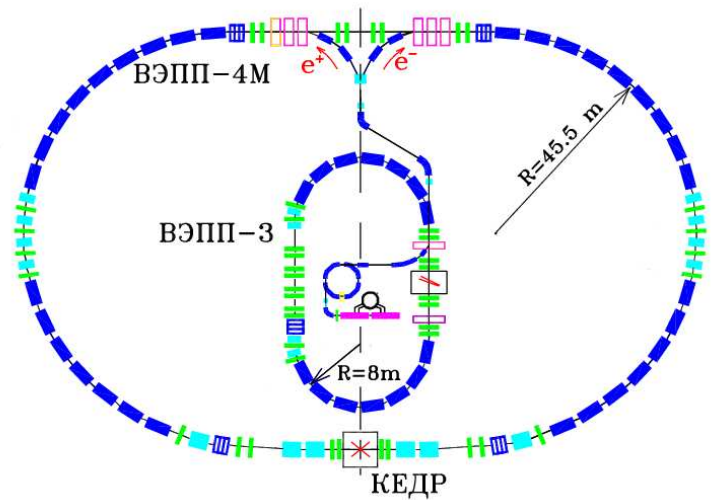
Измерение $\frac{\Gamma_{ee} \times \Gamma_{\mu\mu}}{\Gamma}$ для $\psi(2s)$ -мезона

А. Сухарев

ИЯФ СО РАН, Новосибирск

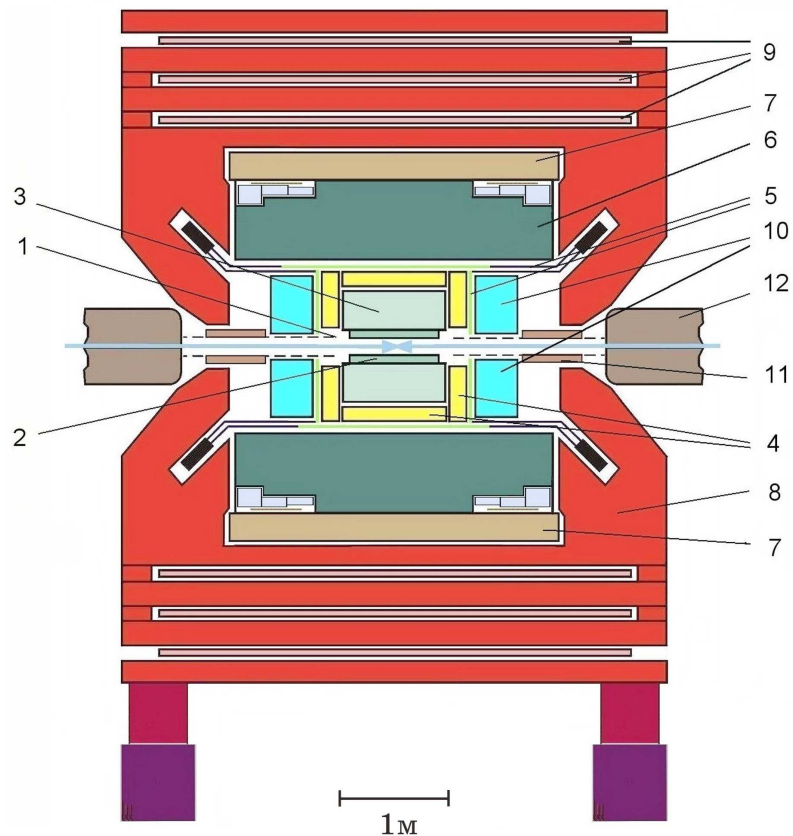
декабрь 2008

Коллайдер ВЭПП-4М



- диапазон энергий пучков — $1 \div 6$ ГэВ
- пикировая светимость при работе в области низких энергий — $2 \times 10^{30} \text{ см}^{-2} \text{с}^{-1}$
- ток в пучке при работе в области низких энергий — до 5 мА
- работа в режиме 2×2 сгустка
- калибровка энергии методом резонансной деполяризации с точностью до 10^{-6}

Детектор КЕДР



1. Вакуумная камера
2. Вершинный детектор
3. Дрейфовая камера
4. Аэрогелевые черенковские счётчики
5. Время-пролётная система
6. Баррельный LKr калориметр
7. Сверхпроводящий магнит
8. Ярмо магнита
9. Мюонная система
10. Торцевой CsI калориметр
11. Компенсирующие магниты
12. Магнит ВЭПП4-М

Теория

В мягкофотонном приближении

$$\sigma_{theor}^{\mu\mu}(W) = \frac{4\pi}{M^2} \left\{ \left(1 + \frac{3}{4}\beta\right) \frac{3\Gamma_{ee}\Gamma_{\mu\mu}}{\Gamma M} \Im f - \frac{2\alpha\sqrt{\Gamma_{ee}\Gamma_{\mu\mu}}}{M} \left(1 + \frac{11}{12}\beta\right) \Re f + \frac{\alpha^2}{3} \left(1 + \frac{13}{12}\beta\right) \right\},$$

где $f = \left(\frac{\frac{M}{2}}{-W+M-\frac{i\Gamma}{2}}\right)^{1-\beta}$, $\beta = \frac{4\alpha}{\pi} \left(\ln \frac{W}{m_e} - \frac{1}{2}\right)$

[Азимов и др., Письма в ЖЭТФ, т. 21, вып. 6, 1975]

Теоретическое сечение необходимо свернуть с $\frac{1}{\sqrt{2\pi}\sigma_W} e^{-\frac{(W-W_0)^2}{2\sigma_W^2}}$, где σ_W — зависящий от ускорителя разброс энергии сталкивающихся частиц.

Схема эксперимента

- Сечение процесса $\psi(2s) \rightarrow \mu^+ \mu^-$ измеряется в пике $\psi(2s)$ -резонанса.
- Для вычитания нерезонансного фона используется сечение $e^+ e^- \rightarrow \mu^+ \mu^-$, измеренное в стороне от пика.
- Разброс энергии ускорителя σ_W измерялся в экспериментах по сканированию $\psi(2s)$ -мезона.
- Абсолютная светимость определяется с помощью торцевого калориметра по процессу упругого $e^+ e^-$ -рассеяния.

Отбор событий (предварительная стадия)

2 или более срабатывания время-пролётной системы находятся в интервале ± 15 нс от времени столкновения пучков,

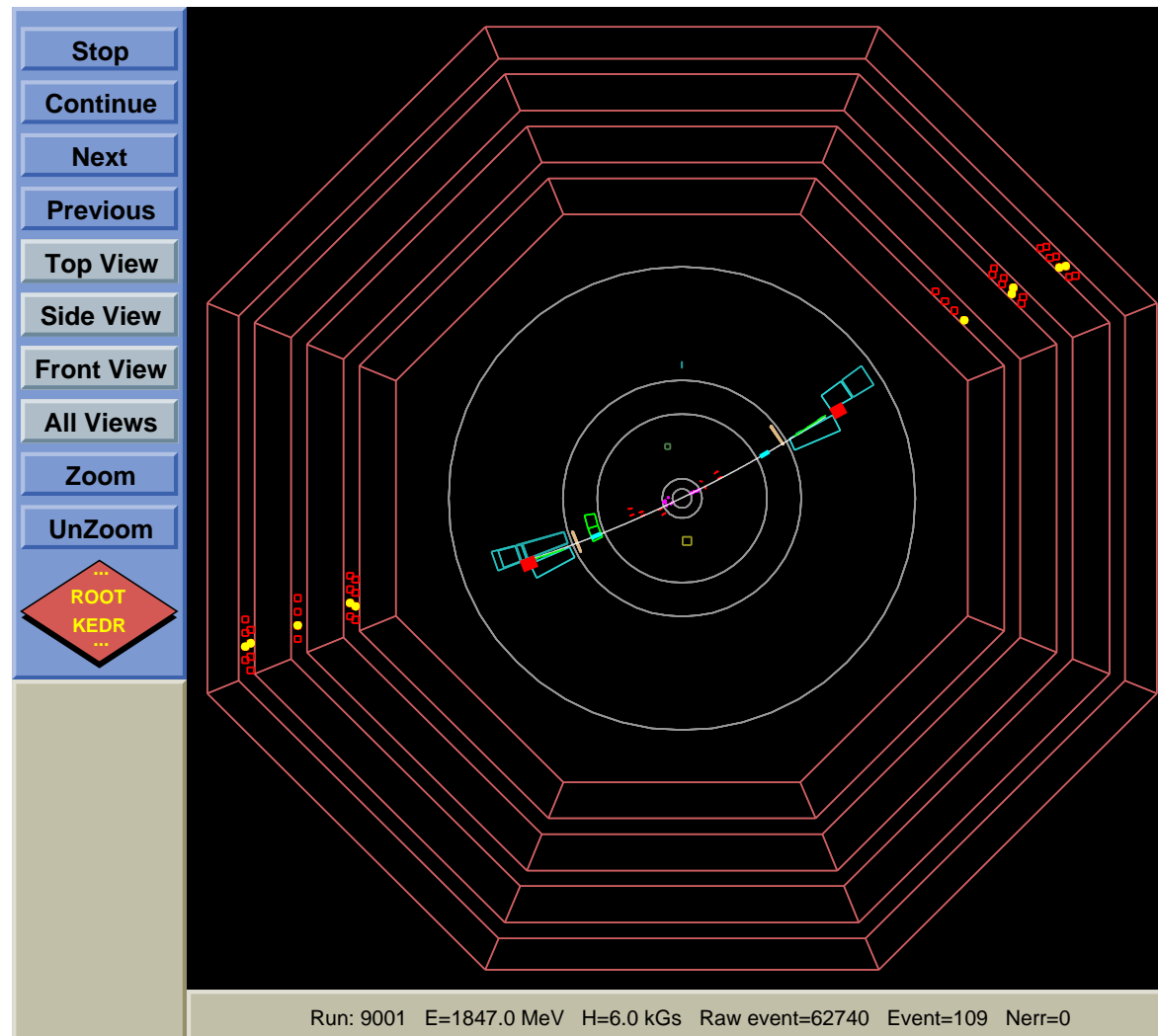
- & восстановлены хотя бы два трека,
- & среди треков есть хотя бы два, давших срабатывания в мюонной системе и выходящих из области $R < 4$ см, $|Z| < 10$ см.

Отбор событий $\mu^+ \mu^-$

Восстановлено ровно два трека, причём для обоих треков есть признак выхода из места встречи,

- & параметр $\Delta T = \sqrt{(T_1 - 3)^2 + (T_2 - 3)^2} < 2$ нс, где $T_{1,2}$ — времена счётчиков время-пролётной системы, соответствующих трекам,
- & $2.5 \times (\pi - \varphi) + 0.1 > \pi - \theta$, где θ — трёхмерный угол между треками, φ — угол между ними в поперечной плоскости детектора.
- & в калориметре допускается один кластер, не относящийся к трекам, с энергией не более 50 МэВ.

Событие $e^+e^- \rightarrow \mu^+\mu^-$ в детекторе КЕДР



Моделирование

Моделирование использовалось для определения эффективности отбора.

Программа моделирования детектора построена на основе библиотеки Geant 3.21.

Моделировались процессы

- $\psi(2s) \rightarrow \mu^+ \mu^-$,
- $\psi(2s) \rightarrow J/\psi \pi^+ \pi^-$, $J/\psi \rightarrow \mu^+ \mu^-$,
- $\psi(2s) \rightarrow J/\psi \pi^0 \pi^0$, $J/\psi \rightarrow \mu^+ \mu^-$.

Использовался генератор JETSET 7.4. Радиационные поправки в конечном состоянии учитывались с помощью пакета PHOTOS.

Эффективность время-пролётной системы измерялась экспериментально.

Эффективность время-пролётной системы

Для измерения эффективности ВПС использовались распады
 $\psi(2s) \rightarrow J/\psi \pi\pi, J/\psi \rightarrow \mu^+\mu^-$.

Отбор событий:

$\pi^+\pi^-$ ровно четыре трека, все выходят из места встречи,

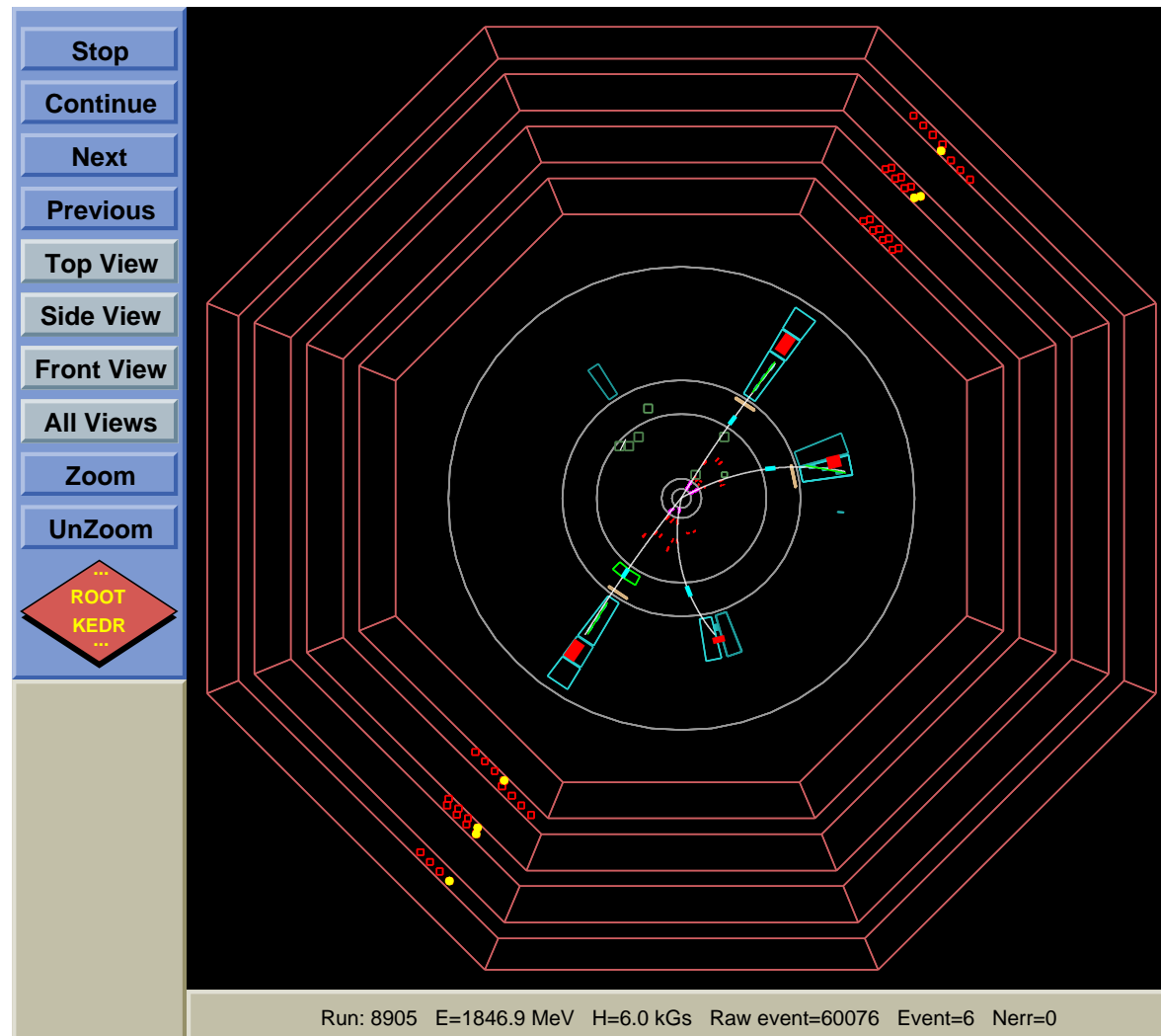
& два трека мюонные, два — немюонные

$\pi^0\pi^0$ ровно два трека, оба идентифицированы как мюонные и выходят из места встречи,

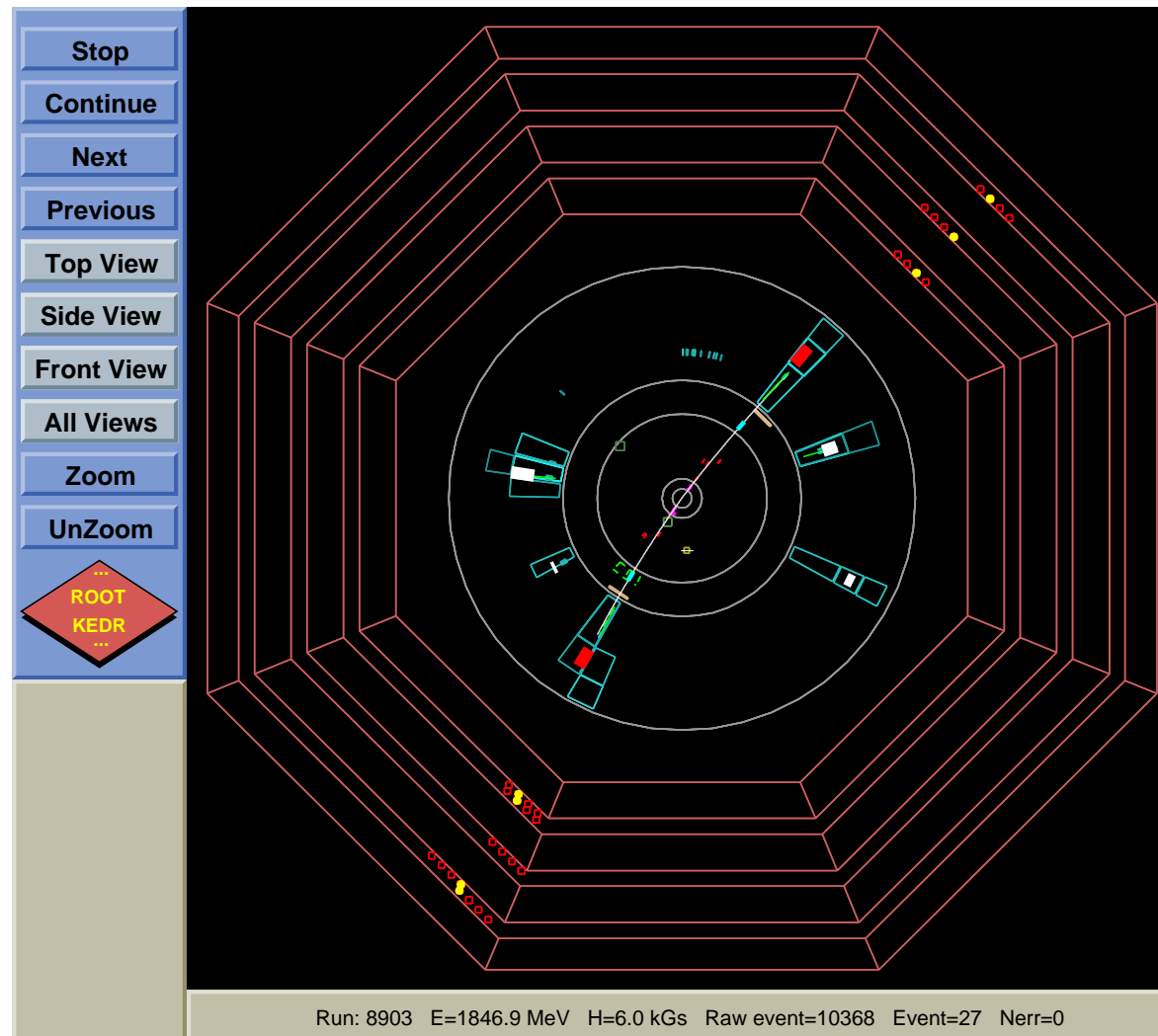
& более двух кластеров, не относящихся к трекам

Эффективность определялась подгонкой спектров массы отдачи пионов для $\pi^+\pi^-$ -канала и спектра инвариантной массы мюонов для $\pi^0\pi^0$ -канала.

Событие $\psi(2s) \rightarrow J/\psi \pi^+ \pi^-$, $J/\psi \rightarrow \mu^+ \mu^-$



Событие $\psi(2s) \rightarrow J/\psi \pi^0\pi^0, J/\psi \rightarrow \mu^+\mu^-$



Результаты

Сделано 5 наборов в режиме «пик/подложка» и три сканирования $\psi(2s)$.

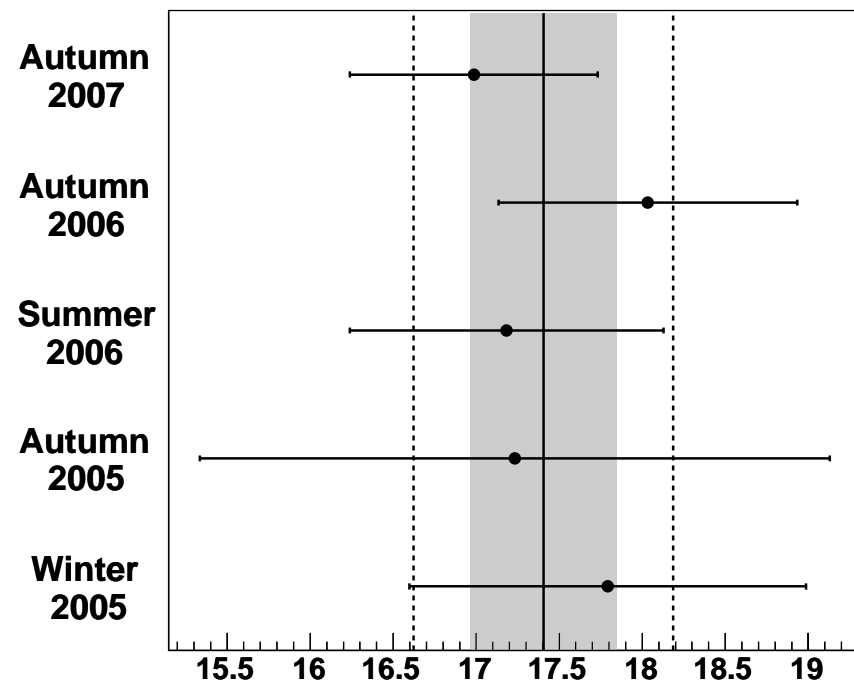
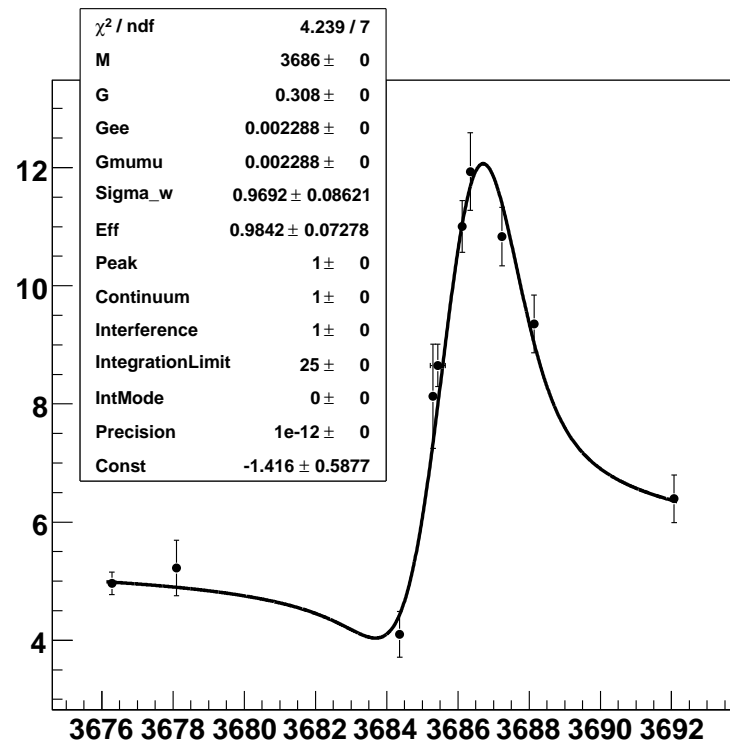
	число событий $\mu\mu$		ε	L_{int} , нб $^{-1}$		$\frac{\Gamma_{ee} \times \Gamma_{\mu\mu}}{\Gamma}$, эВ
	пик	подложка		пик	подложка	
зима 2005	2390	361	0.45	504	159	17.79 ± 1.19
осень 2005	551	223	0.36	119	102	17.23 ± 1.90
лето 2006	2314	390	0.46	451	181	17.18 ± 0.94
осень 2006	2272	473	0.43	458	239	18.03 ± 0.90
осень 2007	5129	586	0.49	895	236	16.99 ± 0.74

$$\Gamma_{e^+e^-} \times \Gamma_{\mu^+\mu^-}/\Gamma = 17.40 \pm 0.44 \pm 0.70 \text{ эВ}$$

Систематические ошибки

Измерение абсолютной светимости	1.8%
Неопределённость энергетического разброса	2%
Неопределённость эффективности регистрации	1.4%
Измерение эффективности ВПС	2%
Условия отбора	2%
Вычитание фона от $J/\psi \pi\pi$	0.6%
	4%

Результаты

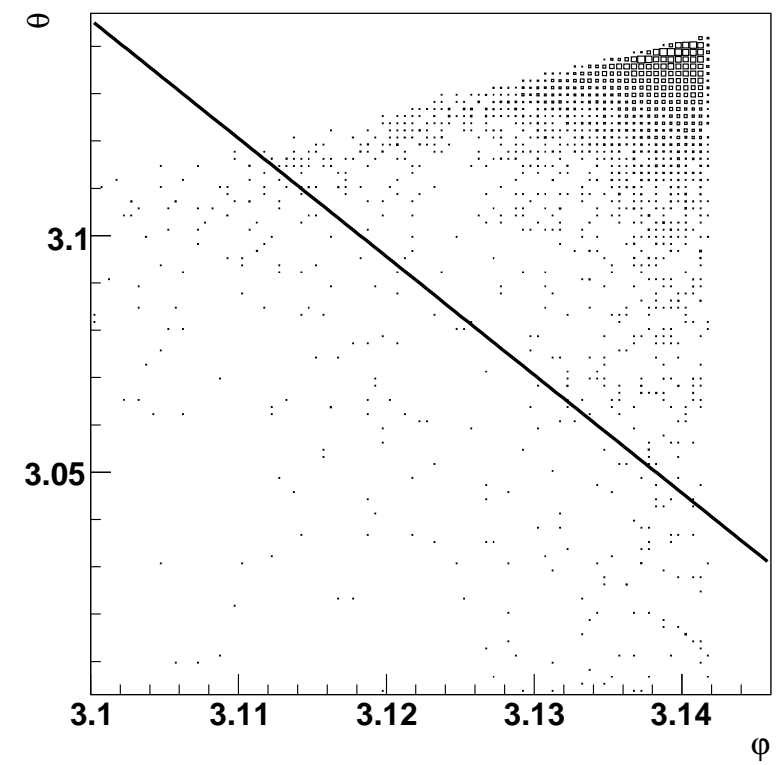
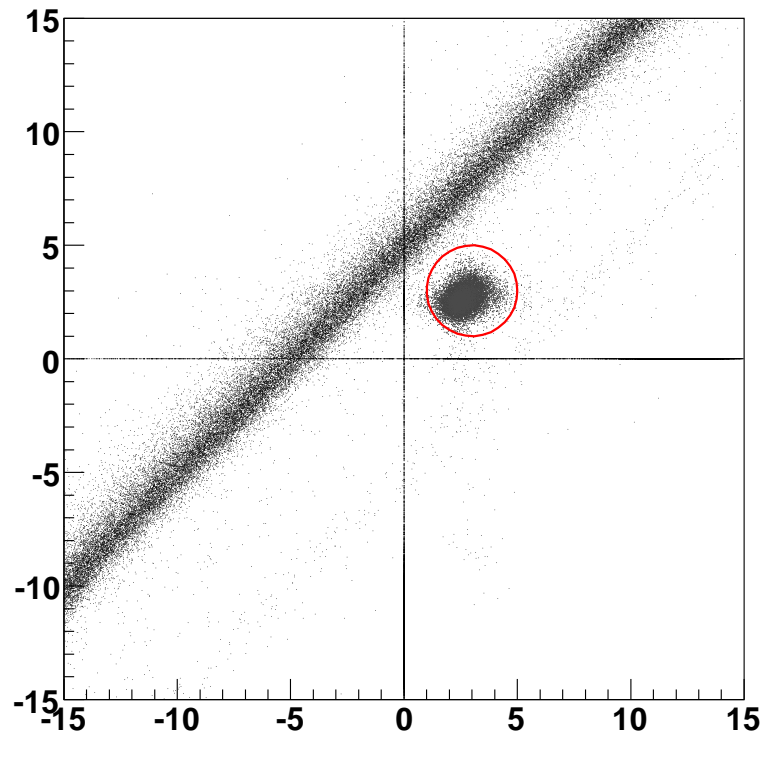


Сравнение с другими результатами

	параметр	значение	отн. точность, %
КЕДР	$\Gamma_{e^+e^-} \times \Gamma_{\mu^+\mu^-}/\Gamma$	$17.40 \pm 0.44 \pm 0.70$ эВ	4.5
PDG 2008	$\Gamma_{e^+e^-}$ (average)	2.33 ± 0.07 кэВ	3.0
PDG 2008	$\Gamma_{e^+e^-}$ (fit)	2.38 ± 0.04 кэВ	1.7
PDG 2008	$\Gamma_{e^+e^-}/\Gamma$ (fit)	$(75.2 \pm 1.7) \times 10^{-4}$	2.3
PDG 2008	$\Gamma_{\mu^+\mu^-}/\Gamma$ (fit)	$(75 \pm 8) \times 10^{-4}$	10.7

Условия отбора

T[1]:T[0] {Ntr==2}



Эффективность ВПС

